

# P2-16/17/18 Laser und Wellenoptik Teil A

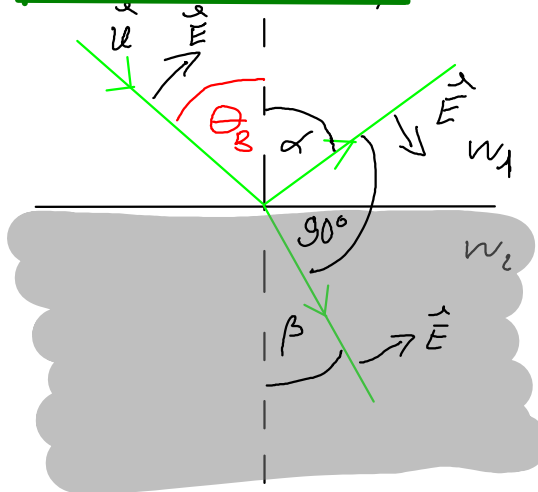
## Vorbericht

Sascha Meißner, Arnold Seiler

### 1. Fresnelstrahlung

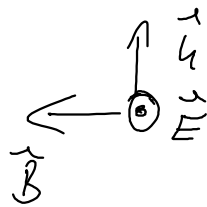
Trifft Licht in einem bestimmten Winkel  $\theta_B$  auf ein anderes Medium, trifft fast keine Reflexion auf. (kei linear polarisiertes Licht)

$$\theta_B = \arctan\left(\frac{n_2}{n_1}\right)$$



$$n_1 \sin \theta_B = n_2 \cos \theta_B \quad (\text{Snelliensches Brüche Gesetz})$$

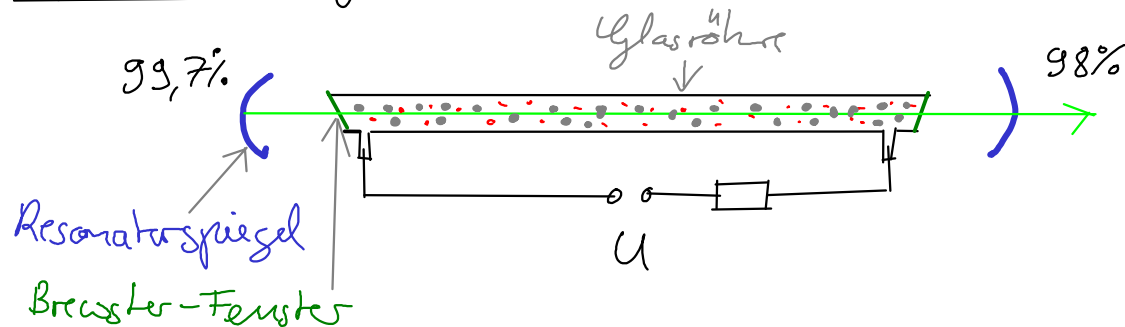
$$\theta_B = \alpha$$



Das gesamte parallel zur Einfallsebene polarisierte Licht wird gebrochen und der senkrecht zur Einfallsebene polarisierte Anteil wird teilweise reflektiert.

### 1.1. Brewster-Fenster (He-Ne-Laser)

Aufbau des Gaslases:



N<sub>2</sub>-Atome

He-Atome

## Funktionsweise:

Durch Gasentladung werden die He-Atome in einen angeregten Zustand versetzt. Die He-Atome lösen eine Beobachtungswelle bei den Ne-Atomen durch inelastische Stoßprozesse aus. Der Laser wird nun aufgrund der energetischen Übergabe des Ne kribbeln.

## Warum braucht man das Brewster-Fenster?

Mit dem Brewster-Fenster erreicht man eine minimale Reflexion des Laserstrahls und linear polarisiertes Licht.

- Hier sollen die Fenster so ausgerichtet werden, dass keine Reflexion mehr stattfindet.
- Unter Beobachtung der Intensität des Laserstrahls maximale Intensität tritt beim Brewster Winkel auf senkrecht einfallendem Strahl werden Teilweise reflektiert wegen

$$R = \frac{(n_2 - 1)^2}{(n_2 + 1)^2} \quad (\text{nach Fresnel})$$

## 1.2 Messung des Brewster-Winkels

- Messung mit dem Si-Photoelement:

Deines Element misst die Intensität  $I_t(\theta)$  des transmittierten Strahls. Bei  $\theta_B$  ist  $I_t$  maximal.

- Man stellt den Winkel  $\theta_B$  ein unter Beobachtung der Reflexion. Verschwindet diese, ist der Brewster Winkel erreicht. Diese Methode ist genauer als eine Intensitätsmessung, da man eine Größe „verschwinden“ nicht.

Der Brechungsindex des Glases  $n_2$  ist dann:

$$\frac{n_2}{n_1} = \tan \theta_B$$

mit  $n_1 \approx 1$  dem Brechungsindex von Luft.

## 2. Beugung an Spalt, Sack, Kieselkörnchen und Kante

### 2.1 Beugung am Spalt

- Bestimmung der Spaltbreite eines Spaltes ( $d=0,2$  oder  $0,3\text{ mm}$ )
- Die Intensität auf dem Schirm ist Abhängigkeit des Beugungswinkels  $\Theta$ :

$$I(\Theta) = I_0 \cdot \frac{\sin^2\left(\frac{\pi d}{\lambda} \cdot \sin \Theta\right)}{\left(\frac{\pi d}{\lambda} \sin \Theta\right)^2}$$

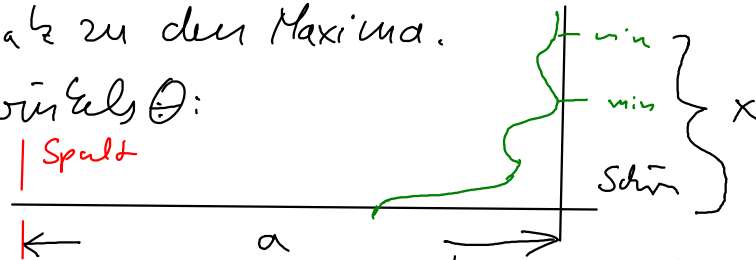
- Minima der Intensität:

$$\sin \Theta = \frac{k \cdot n}{d} \quad k \in \mathbb{Z} \setminus \{0\}$$

Man betrachtet auch hier keine Minima, da diese eindeutig erkennbar sind im Gegensatz zu den Maxima.

- Bestimmung des Beugungswinkels  $\Theta$ :

$$\Theta = \arctan \frac{x}{a}$$



$x$ : Abstand des  $k$ -ten Minimums vom Hauptmaximum bei  $k=0$ .

$a$ : Abstand Schirm  $\leftrightarrow$  Spalt

- Die Spaltbreite lässt sich dann berechnen mit:

$$b = \frac{k \cdot n}{\sin \Theta}$$

$n$ : Wellenlänge des Lasers ( $= 632,8\text{ nm}$ )

### 2.2 Babineff-Theorem

Das Babineff-Theorem besagt:

Optisch komplementäre Gegenstände erzeugen identische Beugungsbilder. Zwei Gegenstände sind optisch komplementär, wenn gerade der lichtundurchlässige Teil und der lichtdurchlässige Teil vertauscht sind.

- Hier soll man die Beugung für einen gleich breiten Spalt mit der des vorherigen Spalts vergleichen

## 2.3 Poisson'scher Fleck

- Nach dem Babinet-Theorem haben die Koisöffnung und die Kois Dreiecke gleicher Öffnung identische Beugungsbilder. Die Fläche des Beugungsbildes dieses Objekts ist stets Null. Bei einem Beugungswinkel von  $\theta = 0^\circ$  haben alle Strahlen keinen Gangunterschied (Durchdringung). So ist an diesem Punkt die maximale Intensität im Beugungsbild. Dies ist der sogenannte Poisson Fleck. Der Fleck tritt bei der Kois Dreiecke ebenfalls auf, da die Strahlen die am Rand der Dreiecke gebrochen werden im Zentrum keinen Gangunterschied haben. Es findet dort konstruktive Interferenz statt.
- Hier soll das Beugungsbild einer Koisöffnung, einer gleichgroßen Kois Dreiecke und einer Kante beobachtet werden
- Beugung an einer Kante:  
Das Beugungsbild ist durch die aufgetretene Interferenz in dunkle und helle Streifen aufgeteilt mit dem Abstand  $x_k$  der den Ebenen Streifen außerhalb des geometrischen Schattens:  

$$x_k = \sqrt{a \cdot n \cdot \left(k - \frac{1}{4}\right)^2} \quad k \in \mathbb{Z} \setminus \{0\}$$

## 2.4 Durchmesser eines Haars

- Nach dem Babinet-Theorem entspricht das Beugungsbild eines Haares einem Spalt, der so breit ist wie der Durchmesser des Haares. analog zu 2.1
- $$d = \frac{k \cdot n}{\sin \theta} \quad : \text{Durchmesser des Haares}$$

Zusätzlich ist ein Schatten in der Mitte des Beugungsbildes zu sehen.

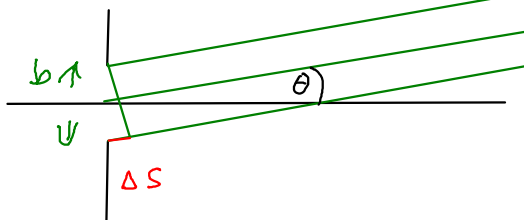
- Vergleich mit der Huygen mit Hilfe der Mikromechanik

### 3. Beugung an Mehrfachspalten und Gittern

Man kann das Verhältnis vom Beugungswinkel zu  $n$  und  $d$  eines Spaltes auch über den Gangunterschied  $\Delta s$  herleiten.

$$\Delta s = d \cdot \sin \Theta = k \cdot n$$

$\Delta s$ : Gangunterschied der Maxima

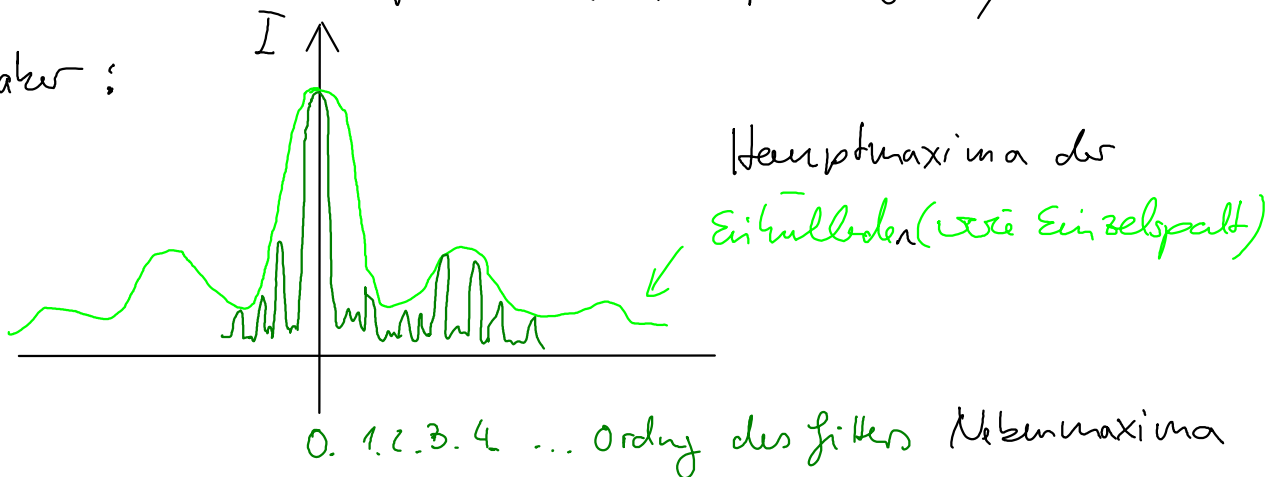


$$\Delta s = d \cdot \sin \Theta = \frac{2k+1}{2} \cdot n$$

$\Delta s$  der Minima

$d$ : Abstand der Spalte (Doppelspalt, Gitter)

aber:



#### 3.1 Beugung am Doppelspalt

Der Doppelspalt entspricht einem Gitter mit zwei Öffnungen.

• Spaltbreite  $b$ :

Beugungswinkel

$$\Theta = \arctan \frac{x}{a}$$

$x$ : Abstand der Minima der Einzelpalte zum Maximum 0. Ordnung

$$b = \frac{k \cdot n}{\sin \Theta}$$

Man kann diese Huygen, um die Minima besser zu erkennen auch mit einem abgedeckten Spalt ( $\Rightarrow$  wie Einzelpunkt) machen.

## • Spaltabstand d:

Hier kann man entweder den Abstand  $x$  vom Minimum oder vom Maximum zu den Hauptmaxima messen und den Beugungswinkel bestimmen.

$d$  ist dann bei Maxima: bei Minima:

$$d = \frac{k \cdot n}{\sin \theta}$$

$$d = \frac{2k+1}{2 \sin \theta} \cdot n$$

## 3.2 Beugung an verschiedenen Mehrfachspalten

- Erhöhung der Spaltanzahl bei gleicher Spaltbreite und Spaltabstand:  
Die Maxima des Beugungsbildes bleiben an der selben Stelle und werden schärfer. Mit steigender Spaltanzahl treten mehr Nebenmaxima auf. (siehe Skizze bei 3.)
- Verringung des Spaltabstandes  $d$ :  
Der Abstand der Hauptmaxima wird größer
- Verringung der Spaltbreite  $b$ :  
Die Einhüllende wird breiter.
- Für  $d \rightarrow 0$  ist das Interferenzmuster des Gitters zu vernachlässigen
- Für  $b \rightarrow 0$  ist die Einhüllende zu vernachlässigen und es bleibt nur das Gitterinterferenzmuster.

## 3.3 Gitterkonstante

Die Gitterkonstante entspricht der Anzahl der Spalte pro Meter.

$$g = \frac{1}{d} \quad (\text{Bestimmung von } d \text{ siehe 3.1})$$

- Wirkung der Ausleuchtung:

Ändert die Position der Maxima nicht. Bessere Ausleuchtung führt zu einem scharferen Beugungsbild.

### 3.4 Kreuz- und Wabengitter

Diese Gitter sind prinzipiell gleich zu behandeln, wie bei 3.1... dargestellt. Zusätzlich sind für die Raumkomponenten zu betrachten, also eine Überlagerung von verschiedenen Beugungsrichtungen.

### 4. Abbildung nichtselbstleuchtender Gegenstände

Hier soll ein Gitter mit 100 Strichen pro cm mit Hilfe einer Linse (150mm) durch den Zees auf dem Schirm abgebildet werden. Wie bei der Abbe'schen Theorie schneiden sich alle Strahlen einer Ordnung in einem Punkt in der Brennebene (0. Ordnung liegt im Brennpunkt). Um bestimmte Ordnungen auszublenden, verwendet man die Beugungsschirblende.

- Durchlass 0. Ordnung:

Entspricht der Abbildung ohne Gitter, die gleichmäßig ausgedehnt ist.

- Durchlass 0. Ordnung und eine der beiden ersten Ordnungen:

Das Bild des Gitters ist auf dem Schirm zu erkennen.

- Ausblenden der 0. Ordnung und Durchlass höherer Ordnungen:

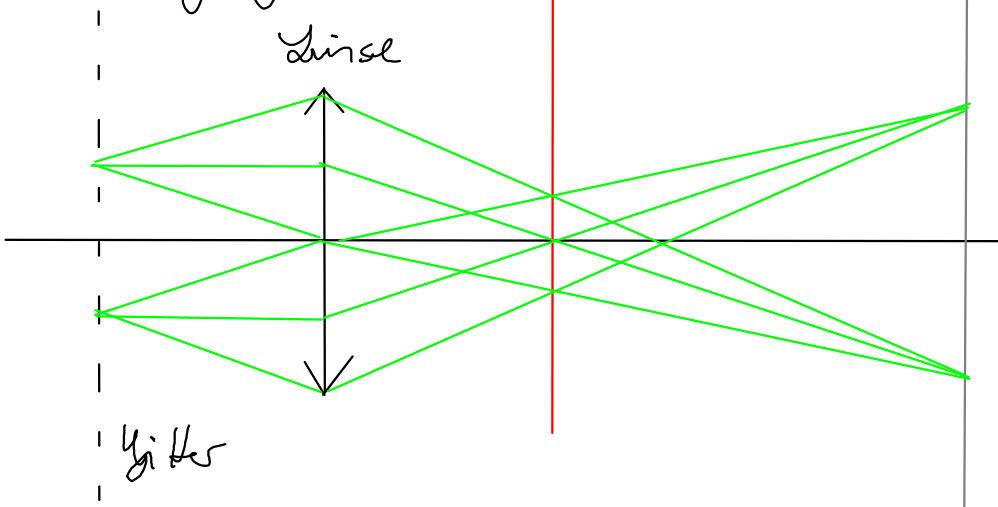
Es ist eine Gitterstruktur erkennbar mit viel größerer Spaltanzahl als das Gitter selbst hat.

Durch das Ausblenden höherer Ordnungen kann man z.B. ein digitalisiertes Bild von störenden Rastern befreien.

Starkey aus:

Brennebene

Schirm



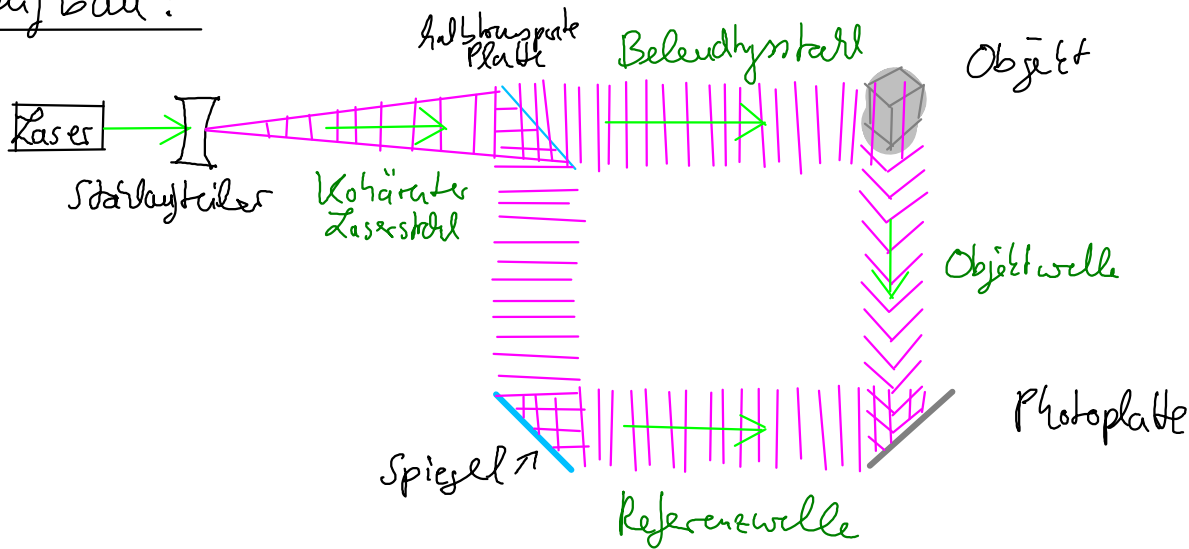
## 5. Holographie

Mit Hilfe von Holographie kann man ein 3D-Bild erzeugen. Dieses Bild ist visuell vom realen Objekt nicht unterscheidbar.

Herstellung einer Holographie: ("Photographie")

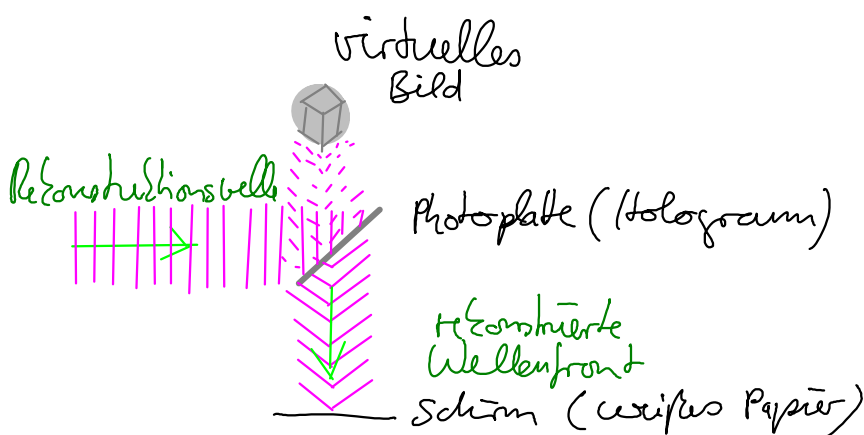
Bei der normalen Photographie wird nur die Information der Intensität des einfallenden Lichts gespeichert. Für eine Holographie ist aber auch die Phase der Welle notwendig (räumliche Darstellung).

Aufbau:



- Ein kohärenter Laserstrahl wird aufgeteilt und mit einem Strahlteiler aufgeteilt
- Ein Teil des Laserstrahles trifft auf das Objekt, von dem aus geht dann eine Objektwelle aus
- Der andere Teil wird als Referenzwelle mit der Objektwelle interferiert.
- Auf der Photoplatte (hochauflösend) wird das entstandene Interferenzbild aufgenommen  $\Rightarrow$  Hologramm
- Das Hologramm, die Schärzungswerte auf der sehr feinkörnigen Photoplatte. Dieses hat eine Ähnlichkeit mit dem Objekt.

Rekonstruktion: (um das Hologramm sichtbar zu machen)



- Die Photoplatte (mit Hologramm) wird von  $\lambda/2$  Laserstrahl gleicher Frequenz wie bei der Herstellung beleuchtet. Diese Welle ist die Rekonstruktionswelle
- Durch die Beleuchtung am Hologramm wird ein 3D-Bild des Objekts erzeugt. Es entsteht ein virtuelles Bild hinter dem Hologramm und ein seitenvorkehrtes Bild vor dem Hologramm. Auf einem Schirm kann dieses sichtbar gemacht werden.

## Eigenschaften des Hologramms:

- Die Information des gesamten Objekts sind schon in einem Teilstück enthalten. Wenn man einen Teil des Hologramms abdeckt, sollte immer noch das ganze Objekt zu sehen sein.
- Man kann mehrere Hologramme überlagern um ein Objekt zu mehreren Zeitpunkten abzufinden.
- Farbhologramme sind durch mehrfache Belichtung mit verschiedenen Wellenlängen bei der Herstellung möglich.